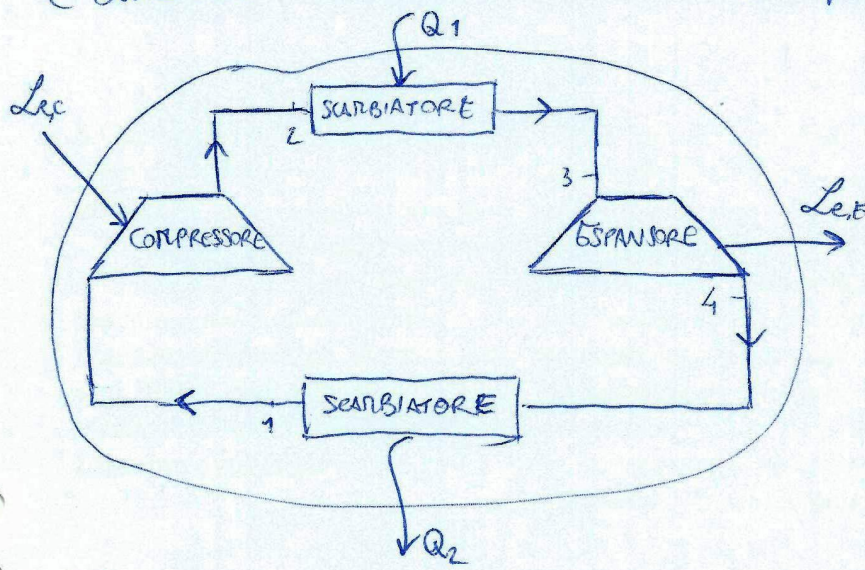


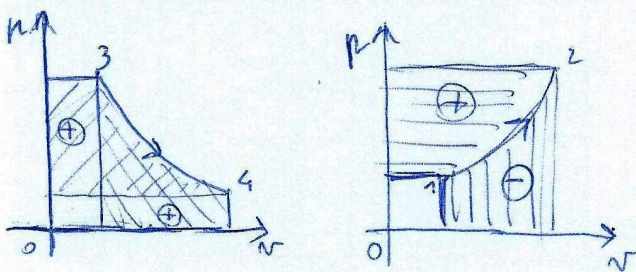
Processi termici motori - termofluisistema motori

A questo punto abbiamo introdotto tutto gli elementi che ci servono per poter affrontare in ambito tecnico i processi che consentono di trasformare l'energia termica in energia meccanica. E' questo uno dei più importanti obiettivi dell'ingegneria a partire dalle sue nascite nel Settecento. Andiamo a caratterizzare le formule che abbiamo visto in precedenza per i vari cicli motori.

Per prima cosa dobbiamo introdurre il termofluisistema motore. Un termofluisistema è un insieme di organi, aperti e collegati tra loro in serie a fornire una catena continua, ciascuno sede di deflessione di massa. Se l'ultimo organo scarica il fluido evolvente nel primo il sistema è chiuso. Consideriamo regimi permanenti di moto e termodinamico. Gli organi che scambiano calore non possono scambiare calore e ricambiare. Gli scambi termici sono reversibili, quelli di lavoro irreversibili. Consideriamo un termofluisistema chiuso e quattro organi, due che scambiano calore (scambiatore) e due che scambiano lavoro (compressore ed espansore):



I lavori di pulsione si annullano a vicenda. Giustamente, per L_e (non L_p):



$$L = \sum L_{ej}$$

Potenze e flusso termico di compressore e decompressore sono:

$$P = \dot{m} (H_f - H_i)$$

Brasavamo le cadute di pressione dovute agli effetti laminari condotti. In ogni sezione parabola del fluido è reversibile, cioè statti sono costanti.

Il lavoro è somma di lavoro esterno netto e lavoro di pulsione: $L = L_e + L_p$. Indire:

$$\int_1^2 p dv = \int_1^2 dp(v) - \int_1^2 v dp$$

$$\int_3^4 p dv = \int_3^4 dp(v) - \int_3^4 v dp$$

Per il I Principio:

$$\sum_j L_{ej} = \sum_i Q_{ij}$$

Per il II Principio:

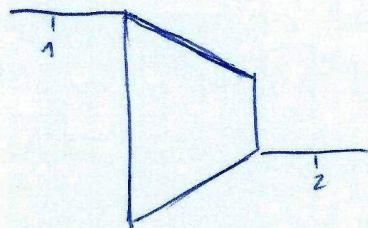
$$\frac{\partial \ln}{T} + \sum_j \Delta S_{sj} = 0$$

Se punto di uscita del sistema, il fluido che lascia il ciclo subisce variazione di entropia nulla.

$$q = \dot{m} (H_f - H_i)$$

Vedremo in particolare i due tipi di organi di macchina:

- organo scambiante lavoro - compenso:



$$\frac{dQ - dLe}{\leq 0} = dH + \frac{dH^2}{2} + gds \leq 0$$

$$\Rightarrow dLe = -dH \Rightarrow Le_2 = H_2 - H_1$$

$$\Rightarrow \begin{cases} T_f, p_f \rightarrow H_f \\ T_i, p_i \rightarrow H_i \end{cases}$$

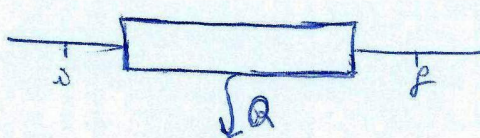
Le entalpie sono date dalle funzioni di stato per

Indire:

$$dH = TdS + vdp \Rightarrow dLe = -vdP - TdS \xrightarrow{\text{sette}} dLe = -vdP - TdS$$

Se $dP > 0 \Rightarrow dLe < 0$, se $dP < 0 \Rightarrow dLe > 0$.

- organo scambiante calore - scambiatore:



$$\frac{dQ - dLe}{\leq 0} = dH + \frac{dH^2}{2} + gds \leq 0$$

$$\Rightarrow dQ = dH$$

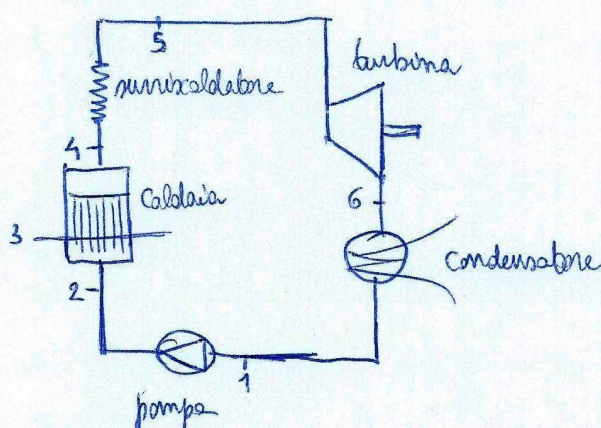
La frazione utilizzata η per l'intero termofluido sistema:

$$\eta = \frac{L}{Q_s} \Rightarrow \eta = \frac{\sum_{m=1}^M Le_m}{\sum_{m=1}^N Q_m} = \frac{\sum_{m=1}^M -\Delta h_m}{\sum_{m=1}^N \Delta h_m}$$

In cui Δh_m è la variazione di entalpia relativa all'organo m -esimo che scambia lavoro, ma non calore. Δh_m è la variazione di entalpia relativa all'organo m -esimo che scambia calore, ma non lavoro.

Il ciclo motore a vapore - Ciclo Rankine

Il ciclo motore a vapore è costituito dai seguenti organi:



Il liquido viene vaporizzato in caldaia, surriscaldato e poi fatto espandersi in turbina (espansore). Qui si produce lavoro. Poi passa al condensatore, dove bagna ad essere liquido a bassa pressione. Infine la pompa comprime il liquido fino alla pressione della caldaia. Il ciclo poi ricomincia.

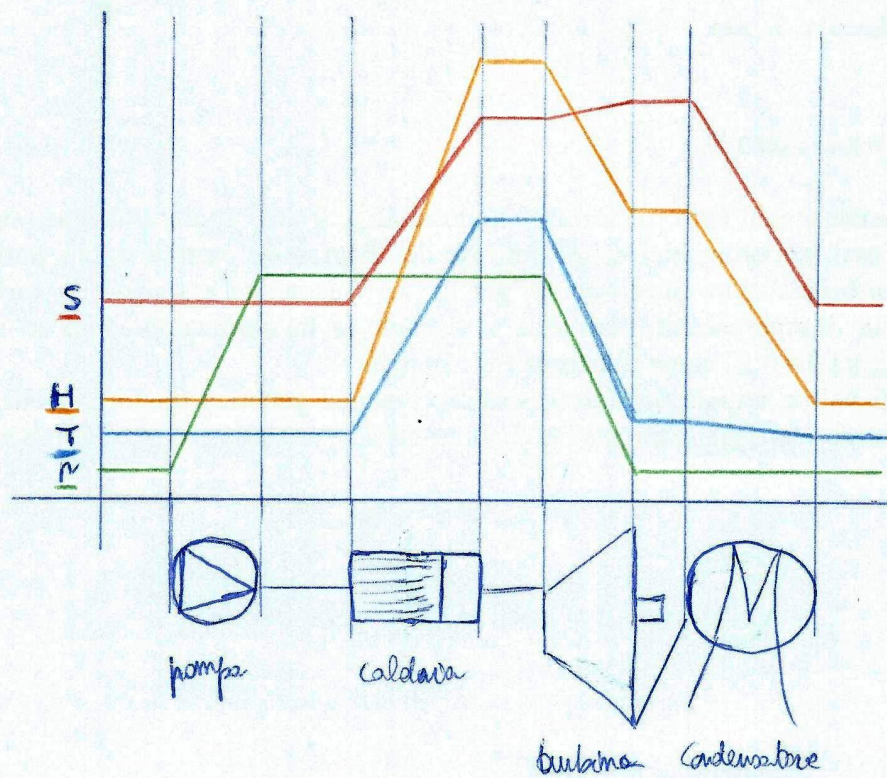
Le trasformazioni di espansione e compressione possono essere approssimate a isobare. L'entalpia, assumendo trascurabilità le variazioni di energia cinetica e potenziale, uguaglia, a seconda degli organi, lo scambio termico e il lavoro (quest'ultimo a meno del segno).

Quindi l'entalpia aumenta nel vaporizzatore e diminuisce in turbina e nel condensatore. La variazione di entalpia nella pompa è trascurabile.

Le variazioni di entropia sono possibili nel vaporizzatore, nell'espansore e nelle pompe. Solo nel condensatore l'entropia diminuisce e torna al valore iniziale.

La temperatura varia con segno opposto a quello dell'entalpia: aumenta se questa aumenta, diminuisce se questa diminuisce.

Guardiamo uno schema qualitativo:



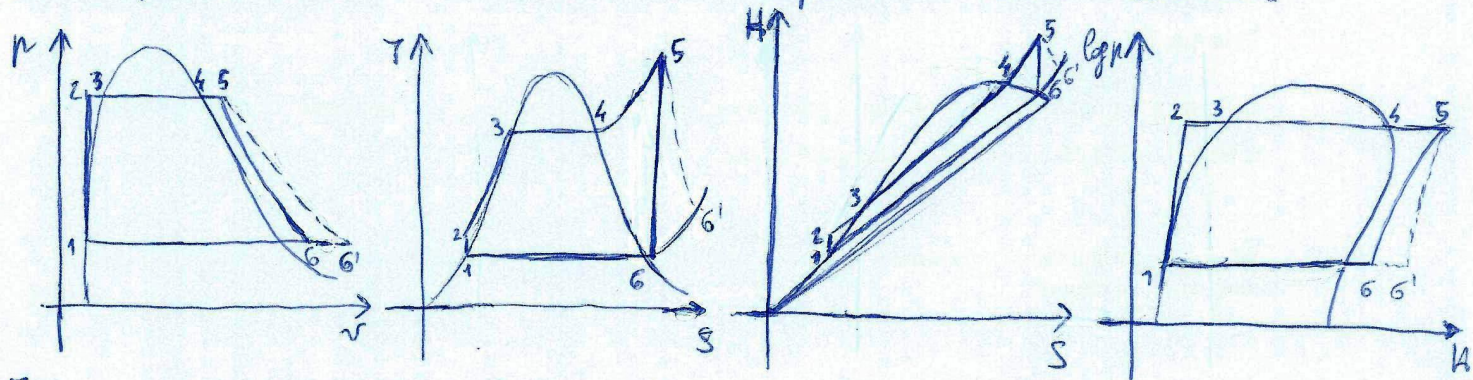
Requisiti che un fluido bifase deve possedere per soddisfare le esigenze di un ciclo motore:

- pressione di vaporizzazione non troppo elevata per limitare la pressurizzazione dell'impianto;
- pressione di condensazione non troppo bassa (e meglio se è maggiore di quelle atmosferiche per non dover mantenere il vuoto);
- punto di fusione inferiore alle minime temperature del ciclo (di solito quelle ambientali) in modo che il liquido non solidifichi;
- temperatura critica elevata per far vaporizzare il fluido ad alte temperature;
- entalpia di passaggio di stato elevata per ridurre le perdite termiche e defluenze e punto di potenza dell'impianto;
- elevate densità alle $T_e p$ dell'impianto per ridurre le dimensioni;
- elevate volumi specifici nell'espansione in modo che sia piccolo il rapporto tra il volume specifico al compressore e quello all'espansione e riducere così la potenza spesa nella compressione;
- elevate pendenze (dT/dS) delle curve limite superiore per ridurre la necessità di imposta velocità di surriscaldamento e risparmio di calore;
- buone caratteristiche chimiche (stabilità), tecniche (non corrosivo, facilmente disponibile), economiche (basso costo) e ambientali (non tossici, compatibilità con l'ambiente).

L'acqua soddisfa molte delle esigenze.

Grafici e formule del ciclo Rankine

Si assume che nel compressore e nell'espansione le trasformazioni siano isentropiche, mentre nel resto dell'impianto siano isobare:



In cui:

- 2-3 : riscaldamento isobaro;
- 3-4 : vaporizzazione in caldaia;
- 4-5 : surriscaldamento;
- 5-6 : espansione in turbina;
- 6-1 : isoborodinaria di condensazione;
- 1-2 : compressione nella pompa.

Bilancio della potenza:

$$P_{netta} = P_T + P_P = m \cdot (H_5 - H_6') + m \cdot (H_1 - H_2)$$

Flussi termici:

$$q_{caldaia} = m \cdot (H_5 - H_2) = m \cdot H_i \cdot \eta_{caldaia}$$

$$q_{cond} = m \cdot (H_1 - H_6') = m \cdot \eta_{cond} \cdot C_{H2O} \cdot (t_f - t_i)$$

In cui $\eta_{caldaia} = \frac{\text{energia ricavata dal fluido in caldaia}}{\text{energia messa a disposizione dal combustibile}}$

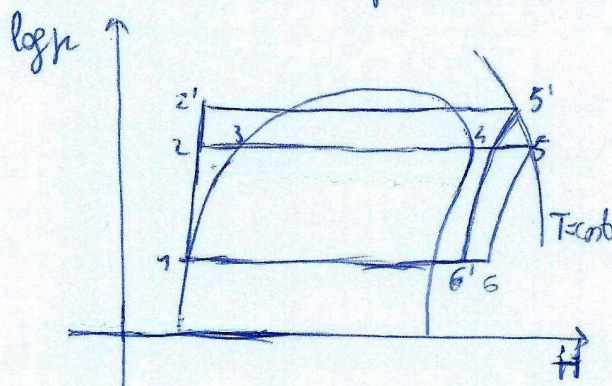
Pressione utilizzata:

$$\eta = \frac{P_{netta}}{q_{caldaia}} = \frac{m \cdot [(H_5 - H_6') \cdot (H_2 - H_1)]}{m \cdot (H_5 - H_2)} \Rightarrow \eta \approx \frac{H_5 - H_6'}{H_5 - H_2} = \frac{\Delta H_{turb}}{\Delta H_{cald}}$$

Metodi per aumentare la pressione utilizzata

Ecco alcuni accorgimenti che riguardano utilizzate per aumentare la pressione utilizzata:

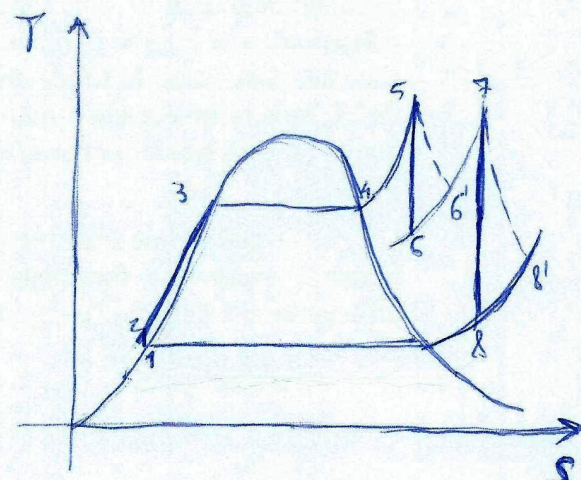
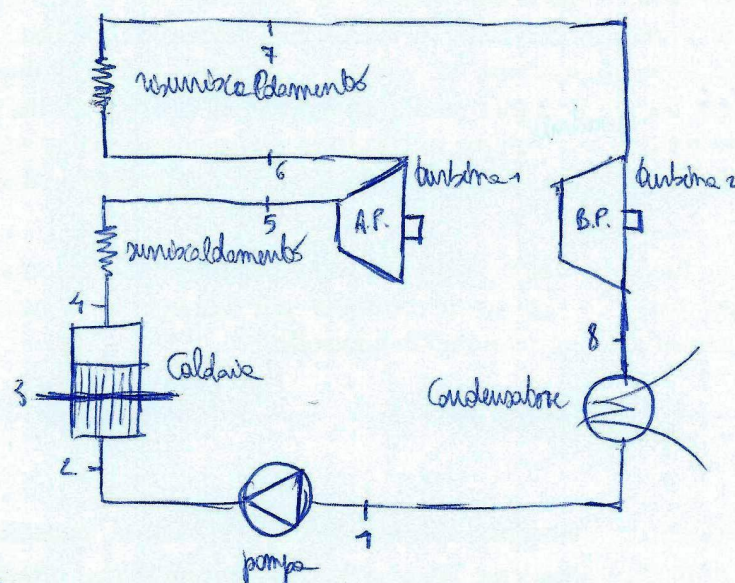
- incremento delle pressioni massime del ciclo e riscaldamento:



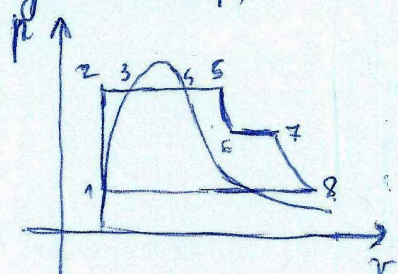
Se buttano aumenta troppo la pressione le curve della trasformazione 5-6 si avvicina alla campane fino ad entrare.

In bel caso il vapore in turbina subisce diminuzione del tempo e diviene secco. Il liquido che si forma tampe la turbina.

Si introduce oltre un riscaldamento dividendo in due momenti la trasformazione in turbina!

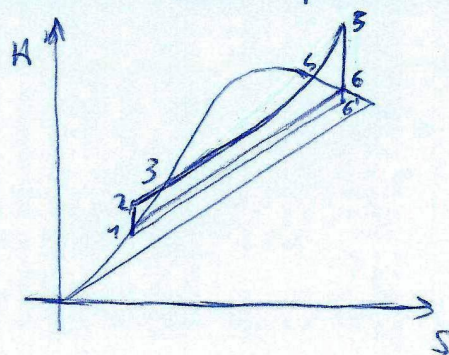


Sul diagramma p, v :



Il problema è che l'aumento del volume specifico richiede macchine sempre più grandi per sopportare le elevate velocità.

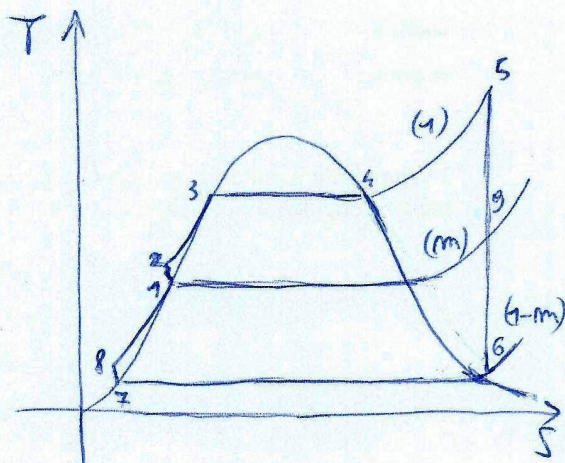
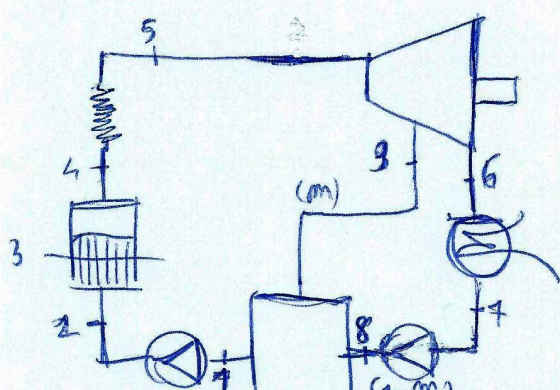
- diminuzione delle pressioni minime del ciclo:



Anche qui diminuendo troppo le pressioni si finisce dentro le campane del vapore secco!

- rigenerazione: il ciclo ideale, con massima pressione utilizzabile, è quello di Carnot, per cui essa coincide con la pressione utilizzabile. Il ciclo di Carnot opera attraverso due isoterme e due adiabatiche. Vogliamo allora avvicinare il più possibile il ciclo Rankine a quello ideale di Carnot. Dobbiamo allora rendere adiabatico il processo di vaporizzazione. In che modo? Portando giù alle temperature di vaporizzazione il liquido in uscita dalle pompe e in ingresso in caldaia. Immaginiamo di abbattere l'espansione in turbina per condensare parzialmente il fluido e usare il calore liberato per riscaldare il liquido in ingresso in caldaia. Come così facendo avremo il processo continuo di riscaldamento. Buttare un organo espansione-condensatore effetto non esiste. Allora si inserisce un componente, detto regeneratore, che preleva una parte di vapore (spillamento), ad una pressione intermedia nella fase di espansione, e lo si che esso fornisca calore al liquido uscente delle pompe. Il regeneratore ritrova le due pompe. Può essere se la miscelazione sia a corrente separata. Si possono anche usare più regeneratori, ma se superano il numero di cinque l'utile ammesso dell'efficienza inizia a diminuire. Risultato se ne usano tre.

Schematyczamente e graficamente:



Le pressioni delle portate di spillamento si danno da:

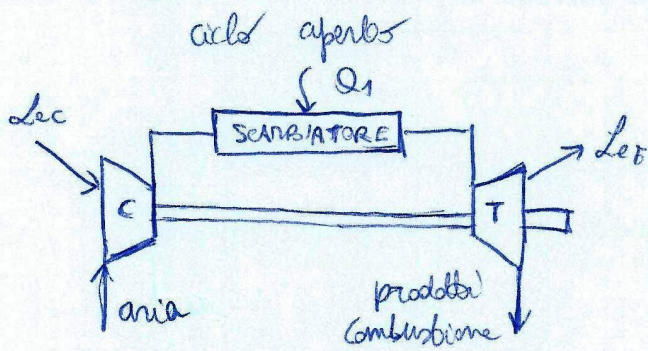
$$m H_9 + (1-m) H_8 = H_4 \Rightarrow m = \frac{H_1 - H_2}{H_9 - H_8}$$

Calore fornito e lavoro prodotto dimensionati

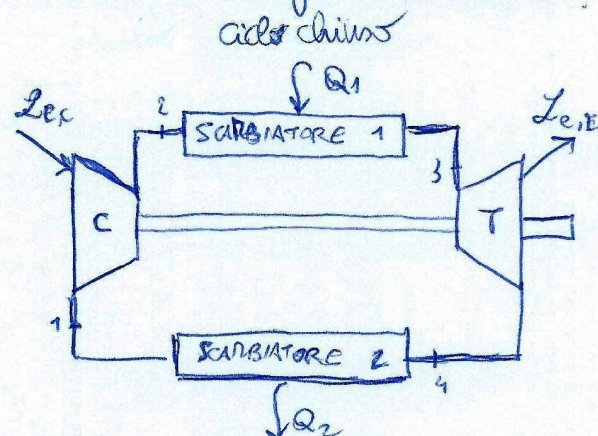
$$\dot{Q}_1 = H_3 - H_2 \quad \dot{L} = (H_5 - H_6) + (1-m)(H_9 - H_8)$$

Il ciclo motore a gas - Ciclo Brayton (o Joule)

Nei cicli a rete il fluido viene vaporizzato e condensato continuamente. In questo nuovo tipo di ciclo il fluido evolviene è invece un gas. Il ciclo può essere aperto o chiuso. Considerando come gas l'aria e concentrando sul ciclo Brayton avremo:



Il fluido viene rinnovato continuamente (immissione e scarico).

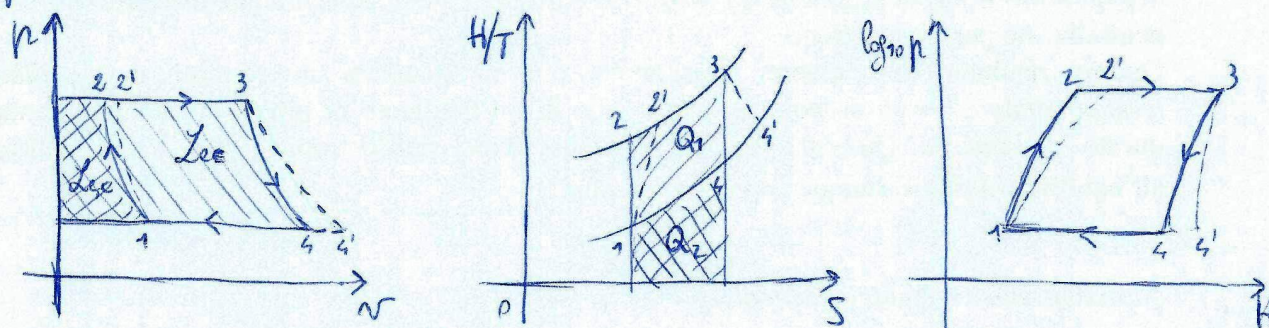


Il fluido viene mantenuto nell'impianto.

Il lavoro viene ricavato dall'espansione del gas. Prima esso viene compresso (c), poi forzato ad alte temperature nello scambiatore 1. Se il ciclo è aperto, dopo l'espansione il gas viene espulso e cede calore in atmosfera, altrimenti, se il ciclo è chiuso, esso mantiene nell'impianto e cede calore nello scambiatore 2.

Il ciclo Brayton è costituito da due isoterme e due adiabatiche reversibili. Immaginiamo che il sistema sia in regime permanente, che le trasformazioni siano reversibili e che il fluido sia sia assimilabile come gas perfetto, con composizione chimica costante e calore specifico costante.

Graficamente:



I tratti grigi si riferiscono al caso reale, in cui sono presenti le irreversibilità. Le linee continue rappresentano il caso.

La pressione utilizzabile è:

$$M_0 = \frac{L}{Q_1} = \frac{Q_1 + Q_2}{Q_1} = 1 + \frac{Q_2}{Q_1} = 1 - \frac{\gamma h(T_4 - T_1)}{\gamma h(T_3 - T_2)} = 1 - \frac{T_1(T_4/T_1 - 1)}{T_2(T_3/T_2 - 1)}$$

Considerando le trasformazioni adiabatiche, eseguiamo alcuni passaggi:

$$\text{per } k = \text{cost} \text{ con } k = \frac{C_p}{C_v}, \text{ per } v = R_1 T \Rightarrow v = \frac{R_1 T}{R_2 T} \Rightarrow p \left(\frac{R_1 T}{R_2 T} \right)^k = \text{cost}$$

$$\Rightarrow \sqrt[k]{p} = \sqrt[k]{\frac{R_1}{R_2} \cdot T} = \text{cost} \Rightarrow p^{\frac{1}{k}} \cdot T = \text{cost}$$

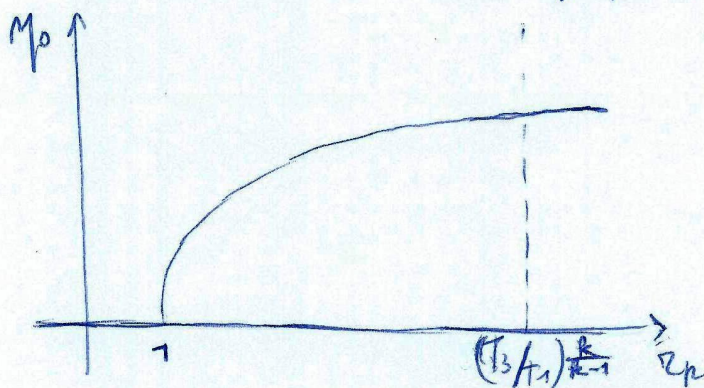
Quindi $T_1 \cdot p_1^{\frac{1-k}{k}} = T_2 \cdot p_2^{\frac{1-k}{k}} \Rightarrow \frac{T_2}{T_1} = \left(\frac{p_2}{p_1}\right)^{\frac{1-k}{k}} \Rightarrow \frac{T_2}{T_1} = \left(\frac{p_2}{p_1}\right)^{\frac{k-1}{k}}$. Introducendo a questo punto il rapporto di compressione,

$$\gamma_p = \frac{p_2}{p_1} \Rightarrow \frac{T_2}{T_1} = \gamma_p^{\frac{k-1}{k}} \Rightarrow \frac{T_3}{T_2} = \left(\frac{p_3}{p_2}\right)^{\frac{k-1}{k}} = \left(\frac{p_2}{p_1}\right)^{\frac{k-1}{k}} \cdot \gamma_p^{\frac{k-1}{k}} = \frac{T_2}{T_1} \Rightarrow \frac{T_4}{T_1} = \frac{T_3}{T_2}$$

Tornando alla flessione utilizzabile:

$$M_0 = 1 - \frac{T_1 (T_2/T_1 - 1)}{T_2 (T_3/T_2 - 1)} = 1 - \frac{1}{\gamma_p^{\frac{k-1}{k}}}$$

Allora M_0 dipende solo da γ_p . Graficamente:



Per γ_p che tende a infinito
 M_0 tende asimmetricamente
al limite

Non occorre buttare avanti all'infinito per trovare il limite di M_0 . Un limite esiste molto prima:

$$\begin{aligned} L &= Q_1 + Q_2 = c_p(T_3 - T_2) - c_p(T_2 - T_1) = c_p(T_3 - T_2) - c_p(T_2 - T_1) = \\ &= c_p \cdot T_3 \left(1 - \frac{T_4}{T_3}\right) - c_p \cdot T_1 \left(\frac{T_2}{T_1} - 1\right) = c_p T_3 \left(1 - \frac{1}{\gamma_p^{\frac{k-1}{k}}}\right) - c_p T_1 \left(\gamma_p^{\frac{k-1}{k}} - 1\right) \end{aligned}$$

Il lavoro è nullo sia nel caso banale, cioè se $1 \equiv 2$, sia nel seguente:

$$L=0 \Rightarrow c_p T_3 \left(1 - \frac{1}{\gamma_p^{\frac{k-1}{k}}}\right) = c_p T_1 \left(\gamma_p^{\frac{k-1}{k}} - 1\right)$$

$$\Leftrightarrow \frac{T_3}{T_1} = \frac{\gamma_p^{\frac{k-1}{k}} - 1}{1 - \frac{1}{\gamma_p^{\frac{k-1}{k}}}} = \frac{\cancel{\gamma_p^{\frac{k-1}{k}} - 1}}{\cancel{1 - \frac{1}{\gamma_p^{\frac{k-1}{k}}}}} = \gamma_p^{\frac{k-1}{k}}$$

$$\Leftrightarrow \left(\frac{T_3}{T_1}\right)^{\frac{k}{k-1}} = (\gamma_p)^{\text{limite}}$$

T_3 è la tempratura massima sopportabile per i materiali con cui è costruita la macchina, in particolare le turbinie. Aumentando γ_p , T_2 aumenta finché non raggiunge T_3 . La flessione aumenta, ma c'è bisogno anche di più aria.

Cerchiamo il valore di γ_p per cui il lavoro è massimo. Osserviamo che L rispetto a γ_p :

$$\frac{dL}{d\gamma_p} = c_p T_3 \left[\frac{d}{d\gamma_p} \left(\gamma_p^{\frac{k-1}{k}} \right) \right] - c_p T_1 \left[\frac{d}{d\gamma_p} \left(\gamma_p^{\frac{k-1}{k}} \right) \right]$$

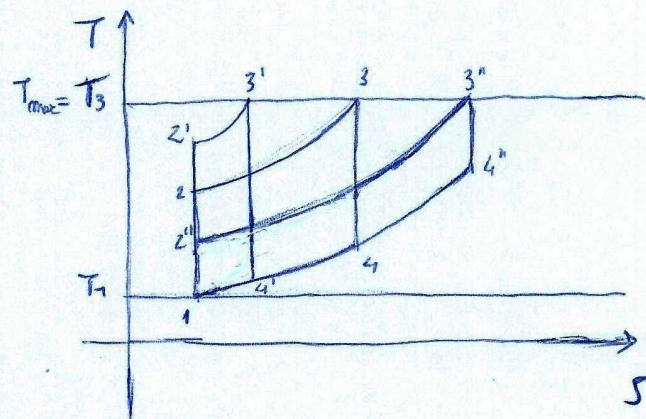
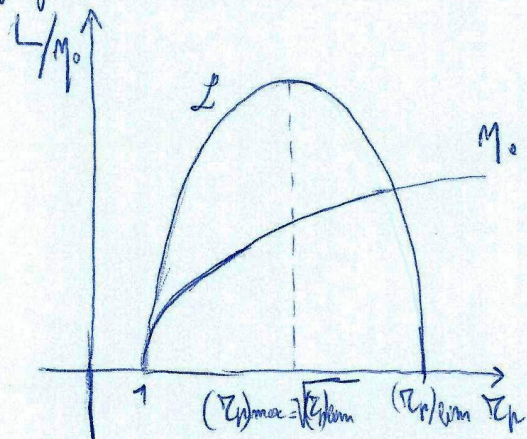
Poniamo la derivata uguale a zero:

$$\eta_p T_3 \left[\frac{d}{dT_p} \left(\frac{T_p}{T_p^{\frac{k}{k-1}}} \right) \right] - \eta_p T_1 \left[\frac{d}{dT_p} \left(\frac{T_p}{T_p^{\frac{k}{k-1}}} \right) \right] = 0$$

$$\Leftrightarrow T_3 \cdot \frac{1}{T_p^{\frac{2(k-1)}{k}}} = T_1 \Leftrightarrow \frac{T_3}{T_1} = R^{\frac{2(k-1)}{k}}$$

$$\Leftrightarrow (\eta_p)_{\text{max}} = \left(\frac{T_3}{T_1} \right)^{\frac{k}{2(k-1)}} \Rightarrow (\eta_p)_{\text{max}} = (\eta_p)_{\text{Carnot}}^{1/2} = \sqrt{(\eta_p)_{\text{Carnot}}}$$

Graficamente:



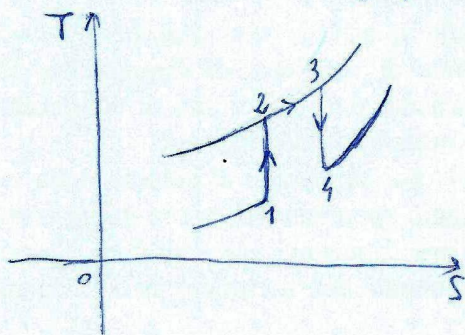
Osservando il secondo grafico, notiamo che, a parità di temperature minima e massima, il lavoro netto specifico varia con il rapporto di compressione. Si ha $\tau_p' < \tau_p'' < \tau_p$.

L'efficienza di un ciclo Brayton è inferiore a quelle di un ciclo di Carnot operante tra le stesse temperature:

$$1 - \frac{T_1}{T_2} < 1 - \frac{T_1}{T_3} \Rightarrow (\eta_p)_{\text{Brayton}} < (\eta_p)_{\text{Carnot}}$$

$(T_3 > T_2)$

Se il sistema motore fosse il grafico corrispondente è:



Ciclo Brayton reale.

Nel caso reale non sono le irreversibilità ed è necessario considerare i rapporti isentropici di espansione e di compressione

$$L_{\text{reale}} = L_{\text{es}} p_E - \frac{L_{\text{ec}}}{p_c} = c_p T_3 p_E \left(1 - \frac{1}{\bar{\gamma}_p^m}\right) - c_p \frac{T_1}{p_c} (\bar{\gamma}_p^m - 1)$$

Con $m = \frac{k-1}{k}$. La frazione utilizzata è:

$$\eta = \frac{L_{\text{reale}}}{Q_1} = \frac{c_p T_3 p_E \left(1 - \frac{1}{\bar{\gamma}_p^m}\right) - c_p \frac{T_1}{p_c} (\bar{\gamma}_p^m - 1)}{c_p (T_3 - T_1)}$$

In cui $Q_1 = c_p (T_3 - T_1) = c_p [T_3 - T_1 - (T_2 - T_1)] = c_p T_3 - c_p T_2 - c_p (T_2 - T_1)$.

Ma $c_p (T_2 - T_1) = L_{\text{es}} = c_p \cdot \frac{T_2}{p_c} (\bar{\gamma}_p^m - 1)$. Quindi:

$$\begin{aligned} \eta &= \frac{c_p T_3 p_E \left(1 - \frac{1}{\bar{\gamma}_p^m}\right) - c_p \frac{T_1}{p_c} (\bar{\gamma}_p^m - 1)}{c_p [T_3 - T_1 - \frac{T_2}{p_c} (\bar{\gamma}_p^m - 1)]} = \\ &= \frac{\frac{T_3}{T_1} \left[\frac{T_3}{T_1} p_E \left(1 - \frac{1}{\bar{\gamma}_p^m}\right) - \frac{1}{p_c} (\bar{\gamma}_p^m - 1) \right]}{\frac{T_3}{T_1} \left[\frac{T_3}{T_1} - \left(1 + \frac{\bar{\gamma}_p^m - 1}{p_c}\right) \right]} = \frac{\frac{T_3}{T_1} \cdot p_E \left(1 - \frac{1}{\bar{\gamma}_p^m}\right) - \frac{\bar{\gamma}_p^m - 1}{p_c}}{\frac{T_3}{T_1} - \left(1 + \frac{\bar{\gamma}_p^m - 1}{p_c}\right)} \end{aligned}$$

Aumentando T_3/T_1 , o i rendimenti isentropici aumentano lavoro netto e frazione utilizzata.

Il lavoro netto si annulla per $\bar{\gamma}_p = 1$ e per:

$$L = 0 \Leftrightarrow c_p T_3 p_E \left(1 - \frac{1}{\bar{\gamma}_p^m}\right) = c_p \frac{T_1}{p_c} (\bar{\gamma}_p^m - 1)$$

$$\Leftrightarrow T_3 p_E \frac{\bar{\gamma}_p^m - 1}{\bar{\gamma}_p^m} = \frac{T_1}{p_c} (\bar{\gamma}_p^m - 1) \Leftrightarrow \bar{\gamma}_p^m = \frac{T_3}{T_1} p_E p_c$$

$$\Leftrightarrow \bar{\gamma}_p = \left(\frac{T_3}{T_1} p_E p_c\right)^{\frac{1}{k-1}}$$

Inoltre è massimo per:

$$\frac{dL}{d\bar{\gamma}_p} = c_p T_3 p_E \frac{d}{d\bar{\gamma}_p} \left(\frac{1}{\bar{\gamma}_p^m} \right) - c_p \frac{T_1}{p_c} \frac{d}{d\bar{\gamma}_p} (\bar{\gamma}_p^m) = 0$$

$$\Leftrightarrow T_3 p_E - \frac{1}{\bar{\gamma}_p^{2m}} = \frac{T_1}{p_c} \Leftrightarrow \bar{\gamma}_p^{2m} = \frac{T_3}{T_1} p_c p_E$$

$$\Leftrightarrow (\bar{\gamma}_p)_{\max} = \left(\frac{T_3}{T_1} p_c p_E\right)^{\frac{1}{2(k-1)}} = \sqrt[k]{(\bar{\gamma}_p)_0}$$

I gas usati dalle turbine sono ad alta temperatura e possono essere usati per riscaldare quelli in uscita dal compressore.

Si può quindi applicare la rigenerazione anche al ciclo Brayton, come al Rankine.

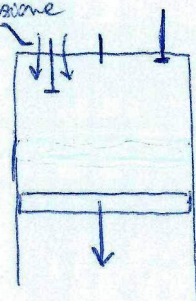
Motori a combustione interna

Anche gli impianti con turbina a gas, come quelli Brayton, sono solitamente a combustione interna (cioè il combustibile bruciato all'interno dell'impianto, nello scambiatore che fornisce aria al ciclo). Tuttavia tale denominazione è quasi sempre assegnata alle macchine alternatrici sfruttate alla trazione. La combustione può essere provocata dalle candele (ciclo Otto) o dalla semplice compressione della miscela (ciclo Diesel).

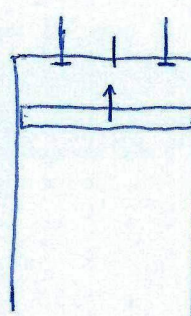
La combustione avviene nel cilindro in vari passaggi:

1) Aspirazione

valvola di aspirazione

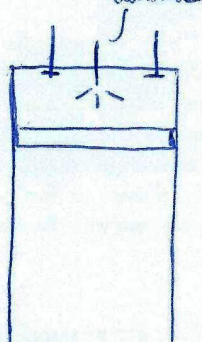


2) Compressione

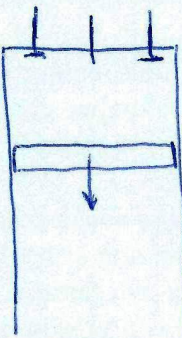


3) Scoppio

candela

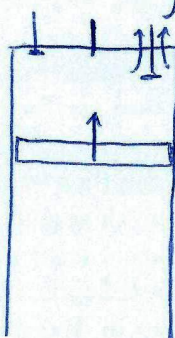


4) Espansione
(versione utile)

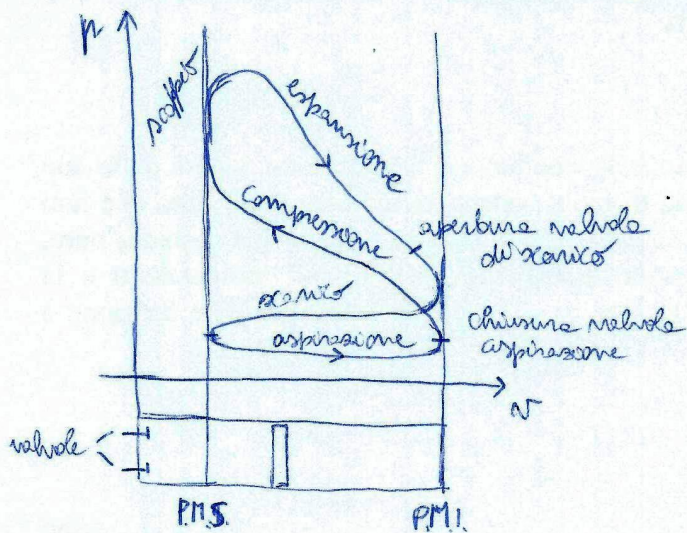


5) Ravagno

valvola di scarico



Il pistone si muove tra punto morto inferiore e punto morto superiore. Vediamo il diagramma pressione - spostamento:



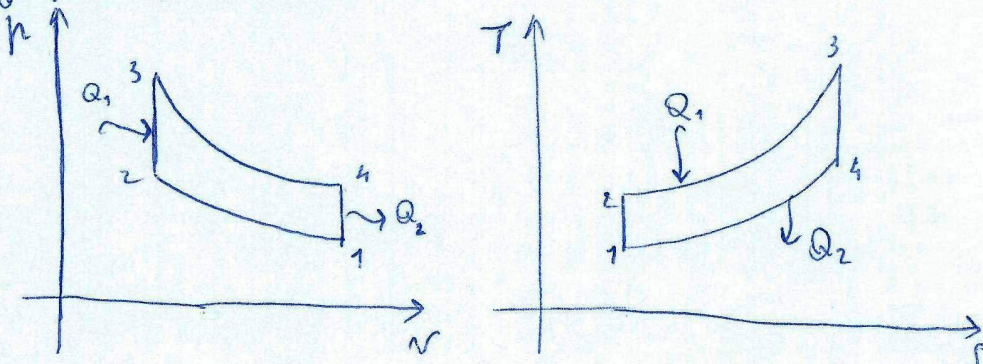
Se il ciclo è Otto lo scoppio avviene grazie alla scintilla prodotta dalla candela. Se invece è Diesel la compressione causa lo scoppio. Nel primo caso viene introdotto aria insieme a combustibile, nel secondo il combustibile e' iniettato successivamente all'aria. Non abbiamo un ciclo termodinamico poiché la composizione chimica finale è diversa da quella iniziale.

Motore a combustione interna - ciclo Otto.

Il ciclo Otto è costituito da due adiabatiche e due scambi di calore:

- regime permanente;
- trasformazioni tutte reversibili;
- fluido aria, trattato come gas perfetto con c_p e c_v costanti.

Vediamo i grafici p, v e T, s :



Le frazioni utilizzabili es:

$$\eta_0 = \frac{L}{Q_1} = \frac{Q_1 + Q_2}{Q_1} = 1 + \frac{Q_2}{Q_1} = 1 - \frac{c_v(T_4 - T_1)}{c_v(T_3 - T_2)} = 1 - \frac{T_1}{T_2} \frac{(T_4/T_1 - 1)}{(T_3/T_2 - 1)}$$

Per l'adiabatica si ha:

$$p v^k = \text{cost}, \quad p v = R_1 T \Rightarrow \left(\frac{R_1 T}{v}\right) \cdot v^k = \text{cost}$$

$$\Rightarrow T \cdot v^{k-1} = \text{cost} \Rightarrow T_1 v_1^{k-1} = T_2 v_2^{k-1}$$

$$\Rightarrow \frac{T_1}{T_2} = \left(\frac{v_2}{v_1}\right)^{k-1}$$

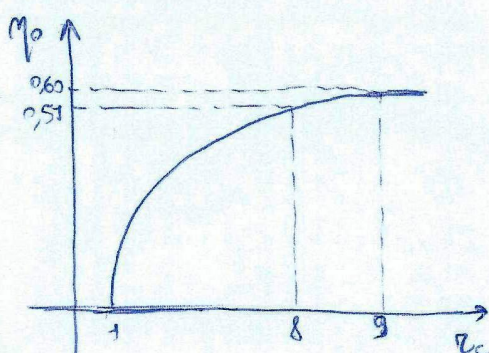
Definiamo il rapporto volumetrico di compressione, $r_c = \frac{v_1}{v_2}$. Quindi:

$$\frac{T_1}{T_2} = \frac{1}{r_c^{k-1}}, \quad \frac{T_3}{T_4} = \left(\frac{v_1}{v_3}\right)^{k-1} = \left(\frac{v_1}{v_2}\right)^{k-1} = r_c^{k-1} = \frac{T_2}{T_1}$$

Perciò $\frac{T_4}{T_1} = \frac{T_3}{T_2}$. Allora:

$$\eta_0 = 1 - \frac{T_1}{T_2} \frac{\left(\frac{T_4}{T_1} - 1\right)}{\left(\frac{T_3}{T_2} - 1\right)} = 1 - \frac{T_1}{T_2} = 1 - \frac{1}{r_c^{k-1}}$$

Graficamente:



η_0 dipende solo da r_c . A livello ideale sono 0,51 o 0,60, in realtà esistono le irreversibilità che lo riducono a 0,30!

Il combustibile deve avere un potere antidetonante adeguato, non deve espandersi spontaneamente con r_c elevati. Ciò pone un limite al valore di r_c .

L'efficienza del ciclo Otto è minore di quella di un ciclo di Carnot operante tra le stesse temperature:

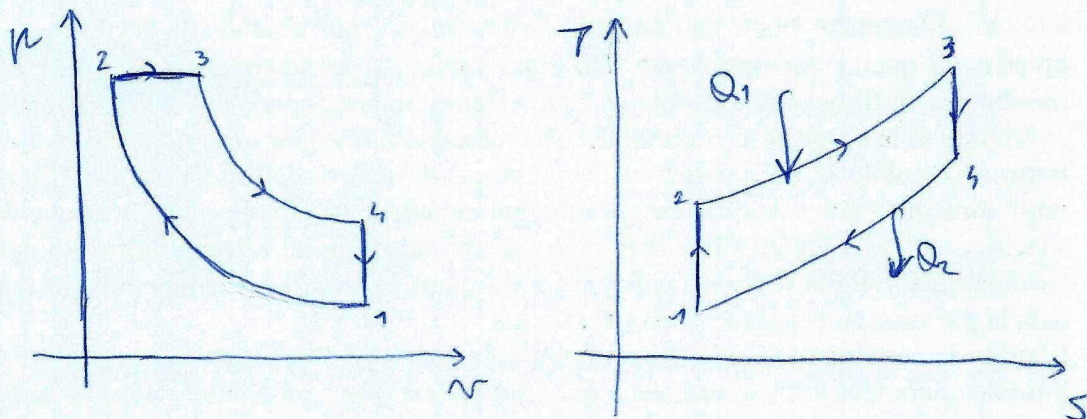
$$1 - \frac{T_1}{T_2} < 1 - \frac{T_1}{T_3} \Rightarrow (\eta_0)_{\text{Otto}} < (\eta_0)_{\text{Carnot}}$$

$(T_3 > T_2)$

Indicativamente per il ciclo Otto $T_{\text{max}} = 2500 - 3000 \text{ K}$ e $p = 40 - 50 \text{ bar}$. Il motore non fonde poiché la T_{max} viene raggiunta per frazioni di tempo molto piccole.

Motore a combustione interna - Ciclo Diesel

Nel ciclo Diesel alla compressione adiabatica, comune al ciclo Otto, segue un'isobara. Dall'inizio di quest'ultima viene iniettato il combustibile che si accende per l'elevata temperatura dell'aria. Successivamente si ha l'espansione adiabatica e infine il lavoraggio iscorso:



Le ipotesi sono:

- trasformazioni reversibili;
- regime permanente;
- fluido sia trattato come gas perfetto con c_p e c_v costanti.

Le trasformazioni sono caratterizzate da:

$$1-2 \quad Q_{1,2} = 0 \quad 2-3 \quad Q_{2,3} = c_p(T_3 - T_2) \quad 3-4 \quad Q_{3,4} = 0 \quad 4-1 \quad Q_{4,1} = c_v(T_1 - T_4)$$

$$L_{1,2} = -(V_2 - V_1) = -c_v(T_2 - T_1)$$

$$L_{2,3} = p_2(V_3 - V_2)$$

$$L_{3,4} = -(V_4 - V_3) = -c_v(T_4 - T_3)$$

$$L_{4,1} = 0$$

La pressione utilizzabile è ($k = \frac{c_p}{c_v}$):

$$\eta_p = \frac{L}{Q_1} = \frac{Q_1 + Q_2}{Q_1} = 1 + \frac{Q_2}{Q_1} = 1 - \frac{c_v(T_4 - T_1)}{c_v(T_3 - T_2)} = 1 - \frac{1}{R} \frac{T_1(T_4/T_1 - 1)}{T_2(T_3/T_2 - 1)}$$

Per l'adiabatica:

$$T \cdot V^{k-1} = \text{cost} \Rightarrow T_1 V_1^{k-1} = T_2 V_2^{k-1} \Rightarrow \frac{T_1}{T_2} = \left(\frac{V_2}{V_1} \right)^{k-1} = \frac{1}{R_c^{k-1}}$$

Usando il rapporto volumetrico di compressione $R_c = \frac{V_1}{V_2}$. Per l'isocora:

$$p_2 = p_3, \quad pV = R_1 T \Rightarrow \frac{R_1 T_2}{V_2} = \frac{R_1 T_3}{V_3} \Rightarrow \frac{T_3}{T_2} = \frac{V_3}{V_2} = \beta$$

Così $\beta = \frac{V_3}{V_2}$ rapporto volumetrico di combustione. Per isocoro e adiabatica:

$$V_1 = V_4, \quad p_1 V_1^{k-1} = p_2 V_2^{k-1}, \quad V_2^{k-1} p_2 = V_3^{k-1} p_3 \Rightarrow V_1 = \left(\frac{p_2}{p_1} \right)^{1/k} \cdot V_2, \quad V_3 = \left(\frac{p_3}{p_2} \right)^{1/k} V_2$$

$$\Rightarrow \left(\frac{p_2}{p_1} \right)^{1/k} V_2 = \left(\frac{p_3}{p_2} \right)^{1/k} V_3 \Rightarrow \frac{V_3}{V_2} = \left(\frac{p_2 \cdot p_3}{p_1 \cdot p_2} \right)^{1/k} = \left(\frac{p_3}{p_1} \right)^{1/k} = \left(\frac{R_1 \frac{T_4}{T_1}}{R_1 \frac{T_3}{T_2}} \right)^{1/k} = \left(\frac{T_4}{T_3} \right)^{1/k}$$

$$\Rightarrow \left(\frac{V_3}{V_2} \right)^k = \frac{T_4}{T_1} = \beta^k$$

Allora:

$$\eta_p = 1 - \frac{1}{R} \cdot \frac{1}{R_c^{k-1}} \cdot \frac{\beta^k - 1}{\beta - 1}$$

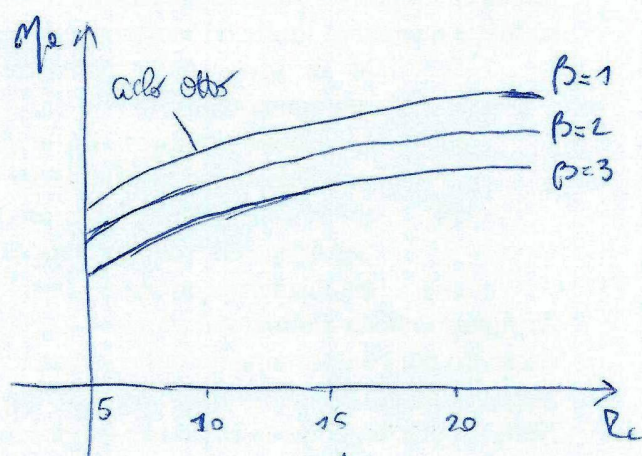
Confronto tra ciclo Otto e ciclo Diesel

L'ultima espressione di η_D ottenuta ci consente di ragionare sul ciclo Diesel e di confrontarlo con quello Otto:

$$\eta_D = 1 - \frac{1}{R} \cdot \frac{1}{\gamma_C} \cdot \frac{\beta^k - 1}{\beta - 1}$$

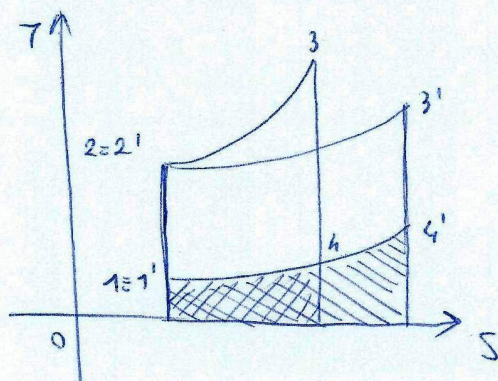
$$\gamma_C = \frac{V_1}{V_2} \quad \beta = \frac{V_3}{V_2}$$

$$k > 1, \quad \gamma_C > 1, \quad \beta > 1$$



A parità di rapporto volumetrico il ciclo Otto è più efficiente che quello Diesel. In realtà il ciclo Otto non sopporta rapporti di compressione così elevati come quelli del ciclo Diesel.

Questa parità di carico fornito e rapporto di compressione (volumetrico massimo, non pressonomiche):

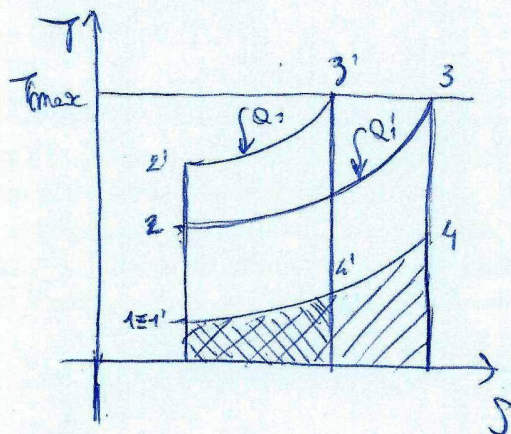


I numeri con apice si riferiscono al ciclo Diesel. Si ha:

$$\gamma_C = \gamma_C', \quad Q_i = Q'_i, \quad |Q_2| < |Q'_2|$$

$$\Rightarrow \begin{cases} L = Q_1 + Q_2 \\ L' = Q'_1 + Q'_2 \end{cases} \Rightarrow L > L' \Rightarrow (\eta)_\text{Otto} > (\eta)_\text{Diesel}$$

Questa parità di temperatura massima e carico fornito (utile anche realmente):



Si ha:

$$Q_1 = Q'_1 \quad |Q_2| > |Q'_2|$$

$$\Rightarrow \begin{cases} L = Q_1 + Q_2 \\ L' = Q'_1 + Q'_2 \end{cases} \Rightarrow L < L' \Rightarrow (\eta)_\text{Otto} > (\eta)_\text{Diesel}$$